



## معرفی عدسی پراشی چند کانونی نوین با بازدهی بالا

آرش ثباتیان و پروا جعفرزاده

دانشگاه ارومیه، دانشکده علوم، گروه فیزیک

با ترکیب تیغه‌ی منطقه‌ای فرنل و توری پراش، عنصر پراشی جدیدی می‌توان ساخت که قادر به تولید آرایه‌ای از نقاط کانونی است. عنصر موردنظر دارای رفتار چند کانونی کنندگی است. این لنز پراشی چند کانونی کننده می‌تواند آرایه‌ای از نقاط کانونی با شدت‌های مساوی تولید کند که فاصله‌ی بین نقاط و همچنین محل آن‌ها به راحتی جابه‌جا می‌شود. هندسه‌ی آرایه‌ها کاملاً قابل کنترل است کما اینکه نتایج شبیه‌سازی‌شده با داده‌های تجربی منطبق هستند.

کلیدواژه: پراش فرنل - عدسی پراشی - تیغه فرنل - چند کانونی کنندگی

## Introducing a high efficient multi-focusing diffractive lens

Arash Sabatyan, and Parva Jafarzadeh

Physics Department, Faculty of Sciences, Urmia University

Abstract- Having combined a Fresnel zone plate and grating, a novel diffractive element is created which is able to produce an array of focal points. Focusing behavior of the element is explored, in detail. It is demonstrated that array of equal intensity focal points can be generated by this multi-focusing diffractive lens. We have shown that the distance and the between the points and their locations could be easily manipulated. Besides, the geometry of the array is quite manageable. As well as some experiments were arranged to verify the simulation results.

Keywords: Fresnel Diffraction, Diffraction Lens, Fresnel Zone Plate, Multi-focusing

## ۱- مقدمه

عنصر پراشی موردنظر از ترکیب دو توری سینوسی با توابع عبور  $t_1$  و فرنل زون پلیت با تابع عبور  $t_2$  ساخته شده است.

$$t_1 = \exp(-2i\pi(mx + my)) \quad (3)$$

$$t_2 = \exp(-i\frac{k}{2f}(x^2 + y^2)) \quad (4)$$

دامنه‌ی پراش  $U(x, y, z)$  با طول موج  $\lambda$  در راستای انتشار  $z$  با تابع مردمک  $p(x', y')$  را با استفاده از انتگرال فرنل - کریشف می‌توان به این صورت بیان کرد:

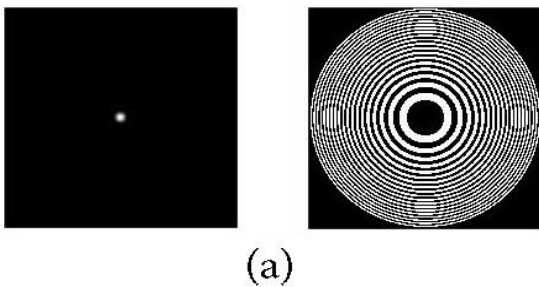
$$U(x, y, z) = \frac{2\pi}{i\lambda z} [p(x', y') \otimes \exp(ik\frac{x^2 + y^2}{2z})] \quad (5)$$

تابع مردمک  $p(x', y')$  بستگی به نوع شکاف مورد نظر شکل‌های متفاوتی در انتگرال فوق خواهد داشت.

که در آن  $\otimes$  نمایانگر هم‌تافتگی بین دو تابع است [۵].

## ۳- نتایج شبیه‌سازی

برای انجام شبیه‌سازی عناصری بافاصله‌ی کانونی ۵۰۰ میلی‌متر و طول موج کاری ۶۳۲٫۸ نانومتر در نظر گرفته شد. سپس با تغییر ضریب  $m$  توزیع فازهای متفاوتی به دست آمد. برای مقایسه و نشان دادن قابلیت عنصر ابتدا طوری این قطعه طراحی شد که چهار نقطه‌ی کانونی را با جایگیری‌های مختلف نقاط کانونی و فواصل مختلف بین نقاط تولید کند. همان‌طور که در شکل ۲(a) تا (f) نشان داده شده است. سپس توزیع فاز طوری انتخاب شد که این نقاط کانونی رو بر روی یک دایره با شعاع دلخواه توزیع شوند همان‌طور که در شکل ۲(h) نشان داده شده است.



(a)

تیغه منطقه‌ای فرنل که به‌عنوان یک عنصر اپتیکی پراشی شناخته می‌شود، نقش بسیار مهمی در سال‌های اخیر در زمینه‌ی اپتیک ایفا نموده است. تیغه منطقه‌ای فرنل با توجه به طول موج مورد استفاده و کاربرد آن به صورت ساختارهای متقارن یک‌بعدی و دوبعدی ساخته می‌شود که می‌توان به تصویرگیری [۱]، کانونی کردن پرتوایکس [۲] و ساخت آنتن‌های تخت [۳، ۴] اشاره نمود. اخیراً روش جدیدی برای تولید پرتوهای حلقوی ارائه شده است که با تعویض نوارهای فرنل در غربال فوتونی صورت می‌گیرد. در این مقاله یک عنصر پراشی که از ترکیب دو نوع توری سینوسی و تیغه‌ی فرنل ساخته می‌شود، مورد بررسی قرار گرفته است. در ادامه به بررسی انواع مختلف این عنصر پراشی می‌پردازیم سپس به محاسبات عددی روی آورده و نتایج شبیه‌سازی شده را با نتایج آزمایشگاهی مقایسه نموده و سرانجام به بیان تأثیرات و کاربردهای آن می‌پردازیم.

## ۲- تئوری و شبیه‌سازی

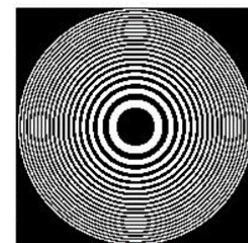
تیغه منطقه‌ای دایره‌ای ساختار متناوب دارد که اگر  $n^2$  شعاع  $n$  امین حلقه و  $f$  فاصله‌ی کانونی باشد، شعاع  $n$  امین حلقه را به این صورت می‌توان تعریف کرد:

$$r_n^2 + f^2 = (f + n\lambda)^2 \quad (1)$$

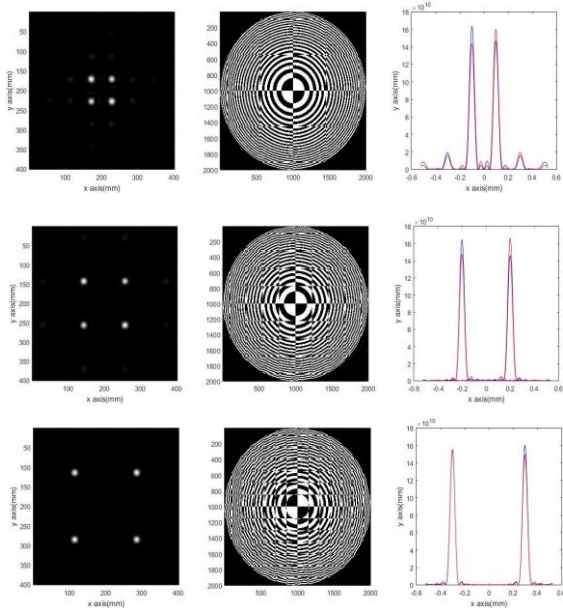
با در نظر گرفتن تقریب پیرامحوری معادله فوق را به این صورت می‌توان نوشت:

$$r_n = \sqrt{2\pi\lambda f} \quad (2)$$

معادله فوق بیانگر این مطلب است که تیغه منطقه‌ای یک الگوی تناوبی با دوره تناوب  $r_n^2$  دارد. در شکل (۱) نمایی از تیغه دایره‌ای فرنل نشان داده شده است.



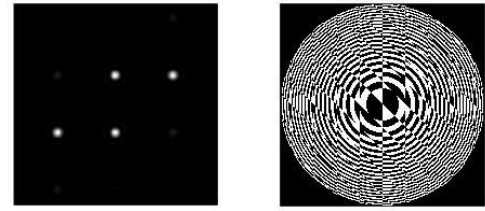
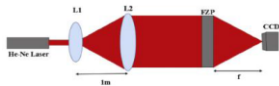
شکل ۱ - تیغه‌ی منطقه‌ای فرنل عادی



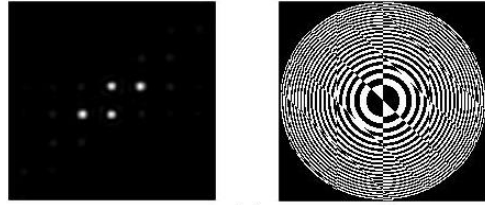
شکل ۳ - نمایش تیغه‌های منطقه ای فرنل دوبعدی با توزیع شدت مربعی و نمایش پروفایل شدت آن

#### ۴- نتایج تجربی

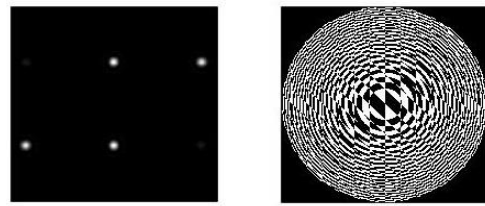
برای انجام کارهای تجربی، عناصر استفاده شده در شبیه‌سازی به‌وسیله فرایند لیتوگرافی با استفاده از چاپگر با قدرت تفکیک بالابر روی کاغذ شفاف چاپ شده و در پیدکان تلسکوپی قرار داده شد. سپس توزیع شدت ناشی از تابیدن موج تخت با طول موج ۶۳۲ نانومتر در کانون این قطعات توسط دوربین مناسب ثبت شد. تصاویر ثبت شده برای قطعات پراشی با نمونه‌ای حاصل از شبیه‌سازی مورد مقایسه قرار گرفته و در شکل ۵- نشان داده شده است. مشاهده می‌شود که نتایج حاصل از آزمایش کاملاً منطبق‌اند. پس از چاپ الگوی کانونی حاصل از نمونه‌ها با چیدمانی که در پایین نشان داده شده است در کامپیوتر ثبت و ذخیره شده‌اند. عدسی L۱ نور لیزر را واگرا کرده و عدسی L۲ نور واگرا شده را موازی می‌کند؛ سپس نور توسط قطعه پراشی کانونی می‌شود؛ این نور کانونی شده توسط CCD ثبت و ذخیره می‌شود. پروفایل شدت و تصاویر ضبط شده برای قطعه پراشی موردنظر در زیر نشان داده شده است.



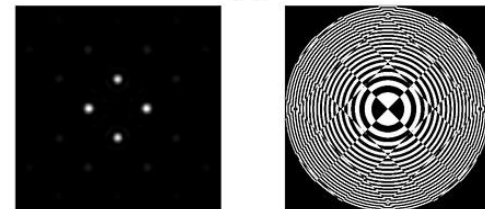
(b)



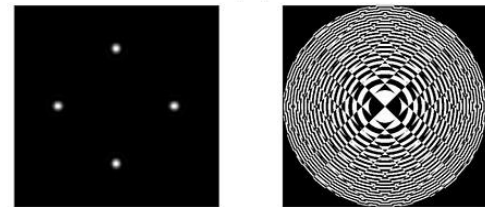
(c)



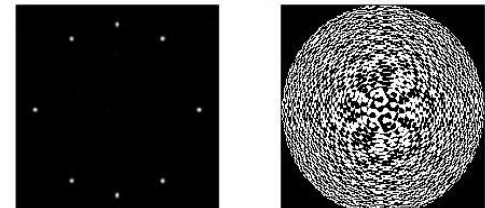
(d)



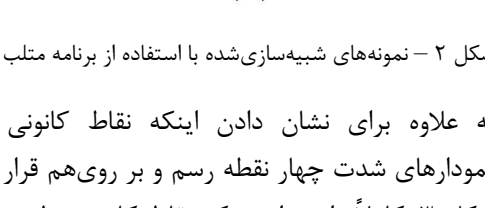
(e)



(f)



(g)



(h)

شکل ۲ - نمونه‌های شبیه‌سازی شده با استفاده از برنامه متلب

به علاوه برای نشان دادن اینکه نقاط کانونی هم‌ارزند نمودارهای شدت چهار نقطه رسم و بر روی هم قرار داده شد شکل ۳. کاملاً واضح است که نقاط کانونی تولید شده کاملاً یکسان هستند.

یکدیگر می باشد که در رابطه تابع انتقال (۳) با پارامتر  $m$  معرفی شده است.

### ۵- نتیجه گیری کلی

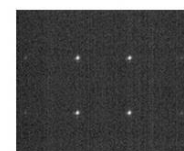
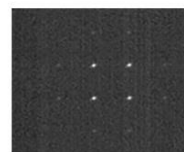
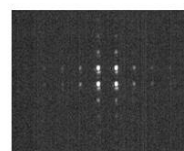
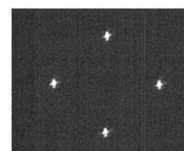
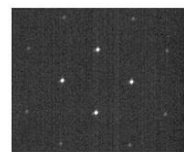
عنصر موردنظر ما از ترکیب تیغه‌ی منطقه‌ای فرنل و توری پراشی ساخته شده است. این عنصر خاصیت چند کانونی‌کنندگی دارد که می‌توان فاصله‌ی بین نقاط کانونی و محل آن‌ها را به‌طور دلخواه تنظیم کرد. نتایج حاصل از شبیه‌سازی‌های انجام‌شده با نتایجی که به‌طور تجربی در آزمایشگاه به‌دست‌آمده‌اند به‌طور کامل منطبق هستند.

### مراجع

- [1] S. Wang, X. Zhang, *Terahertz Technology: Terahertz Topographic Imaging with a Fresnel lens*, *Opt. Photonics News* **61**, 64-64, (2002).
- [2] Y. Wang, W. Yun and C. Jacobsen, "Achromatic "Fresnel optics for wideband extremeultraviolet and X-ray imaging", *Nature* **424**, 67-65 (2003).
- [3] Igor V.Minin and Oleg V.Minin, "Basic Principles of Fresnel Antenna Arrays". (Springer, 2008)
- [4] Francisco Javier Gonza´lez, Javier Alda, Bojan Ilic, and Glenn D. BoremanL, "Infrared antennas coupled to lithographic Fresnel zone plate lenses", *Optical Society of America*, **040.3060,230,3990**,(2004)
- [5] J. W. Goodman, *Introduction to Fourier optics*, Mc Graw-Hill Book Company, New York, (1996).

simulation

experimental



شکل-۵ مقایسه‌ی توزیع شدت‌های شبیه‌سازی‌شده در متلب و نتایج تجربی به‌دست‌آمده در آزمایشگاه

در کلیه‌ی نتایج آزمایش‌های نشان داده شده در شکل-۵ پارامتر متغیر ما فاصله‌ی نقاط کانونی در راستای X و Y از